

# Ceftazidime / avibactam

“We're gonna need a bigger boat”

Spellberg B, Bonomo RA



Michel Arthur

Laboratoire de Recherche Moléculaire  
sur les Antibiotiques

Centre de Recherches des Cordeliers  
INSERM UMR S 1138 Equipe 12



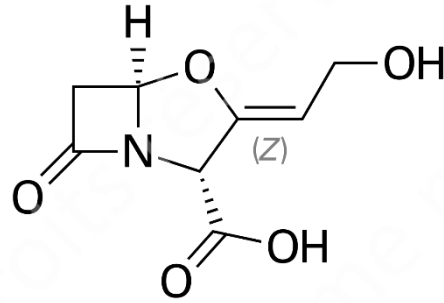
Institut national  
de la santé et de la recherche médicale

# A new generation of $\beta$ -lactamase inhibitors: Structure

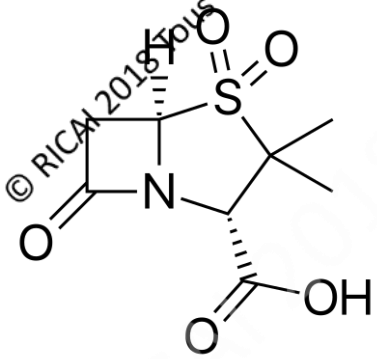
1<sup>st</sup> generation :  $\beta$ -lactam

2<sup>nd</sup> generation : Diazabicyclooctane

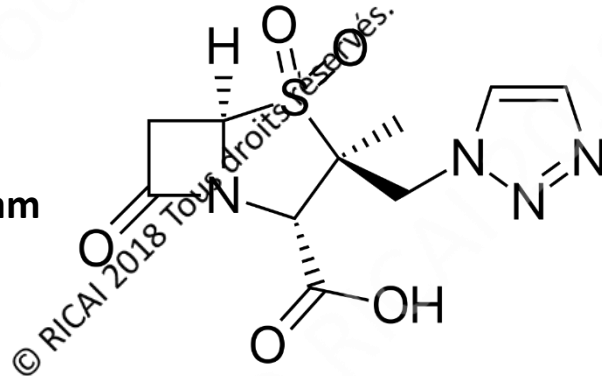
Clavulanate



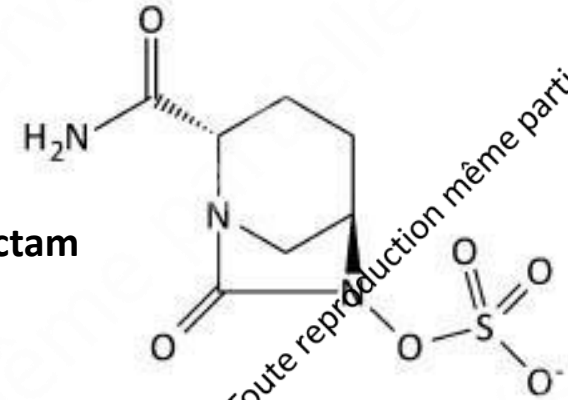
Sulbactam



Tazobactam

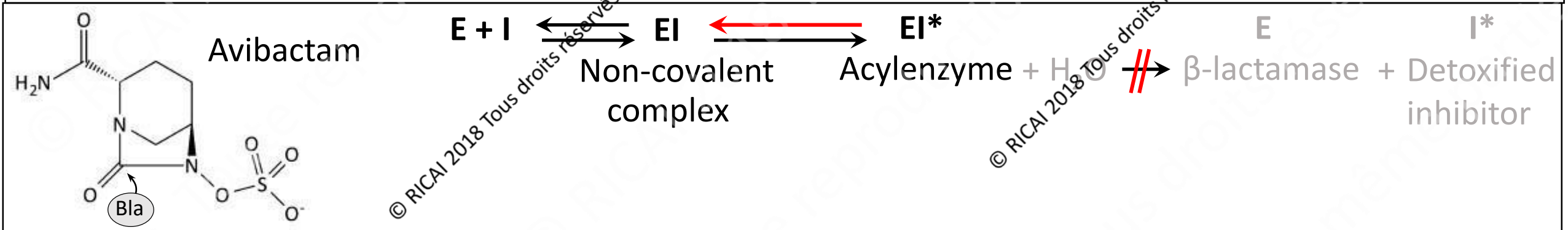
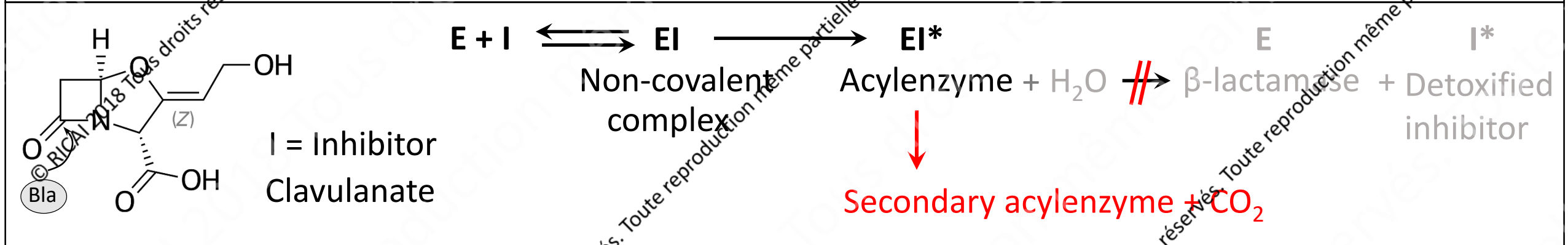
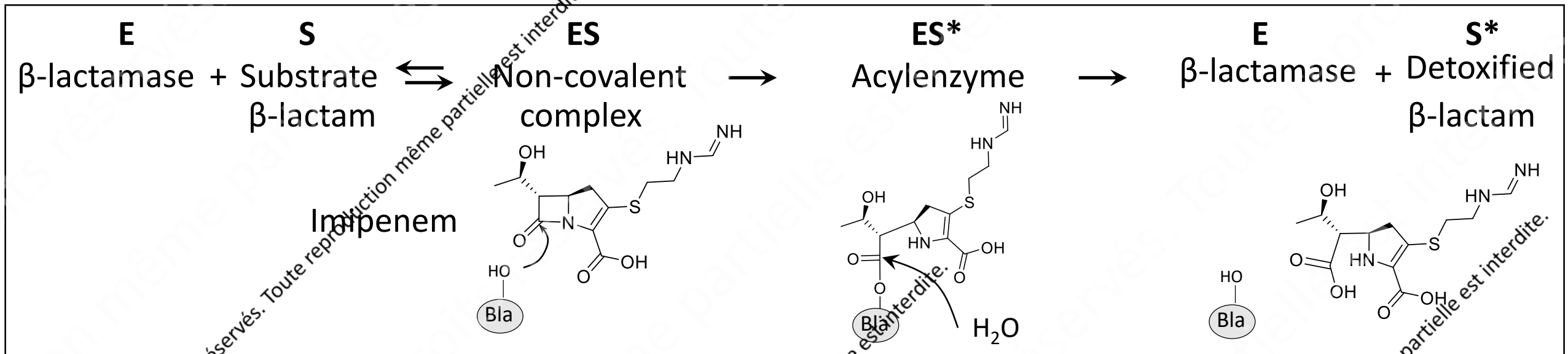


Avibactam



© RICAI 2018 Tous droits réservés. Toute reproduction même partielle est interdite.

# Different modes of action



# Inactivation spectrum of avibactam

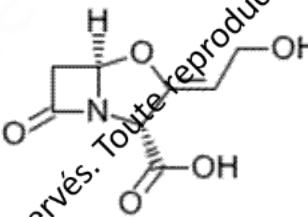
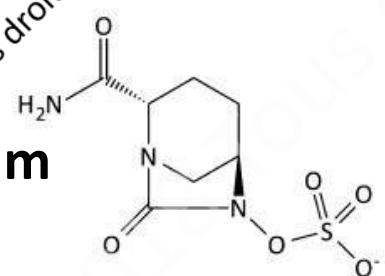
## $\beta$ -lactamase

Class A	Active
Class B	Inactive
Class C	Active
Class D	Variable

## Questions to be addressed:

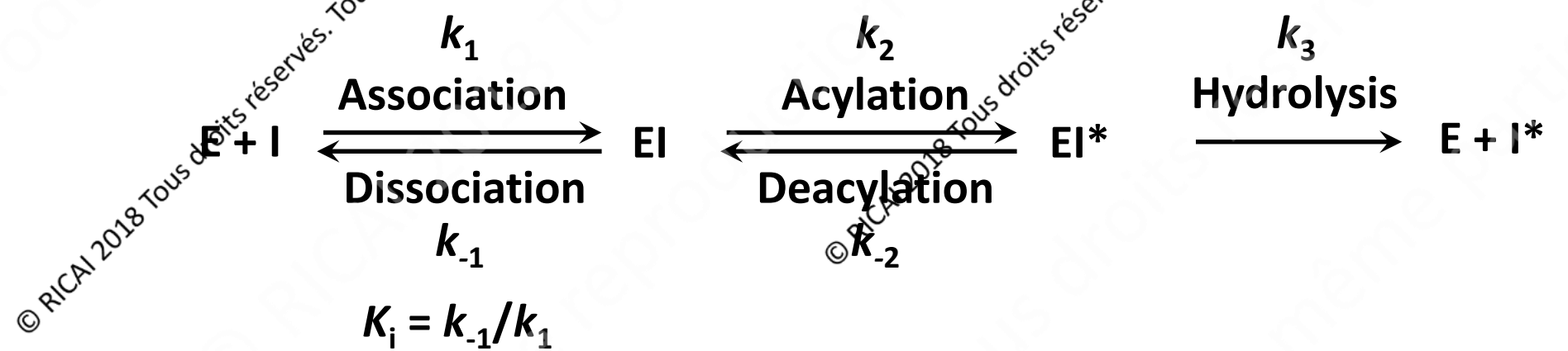
- Are there **naturally-occurring “resistant”** class A  $\beta$ -lactamases?
- Are **variations in the efficacy** of avibactam and clavulanate positively correlated?  
negatively correlated?  
independent?
- Is **acquisition of resistance** to avibactam- $\beta$ -lactam combinations possible following changes in the sequence of the  $\beta$ -lactamases under the selective pressure of the drugs?

# Naturally occurring $\beta$ -lactamases not inactivated by avibactam

Inhibitor	$\beta$ -lactamase	
	BlaC <i>M. tuberculosis</i>	Bla <sub>Mab</sub> <i>M. abscessus</i>
Clavulanate 	<p><b>Rapid inactivation</b> <math>k_2/K_i = 230,000 \text{ M}^{-1} \text{ s}^{-1}</math></p> <p><b>No deacylation</b> <math>k_{-2} = 0</math></p> <p><b>Insignificant hydrolysis</b> <math>k_3 = 0.0001 \text{ s}^{-1}</math></p>	<p><b>No inactivation, Hydrolysis</b></p> <p><math>k_{\text{cat}} / K_m = 210,000 \text{ M}^{-1} \text{ s}^{-1}</math></p>
Avibactam 	<p><b>Slow inactivation</b></p> <p><math>k_2 / K_i = 24 \text{ M}^{-1} \text{ s}^{-1}</math></p>	<p><b>Rapid inactivation</b></p> <p><math>k_2 / K_i = 480,000 \text{ M}^{-1} \text{ s}^{-1}</math></p> <p><math>k_{-2} = 0.00002 \text{ s}^{-1}</math></p>

**Red: Full "irreversible" inactivation**

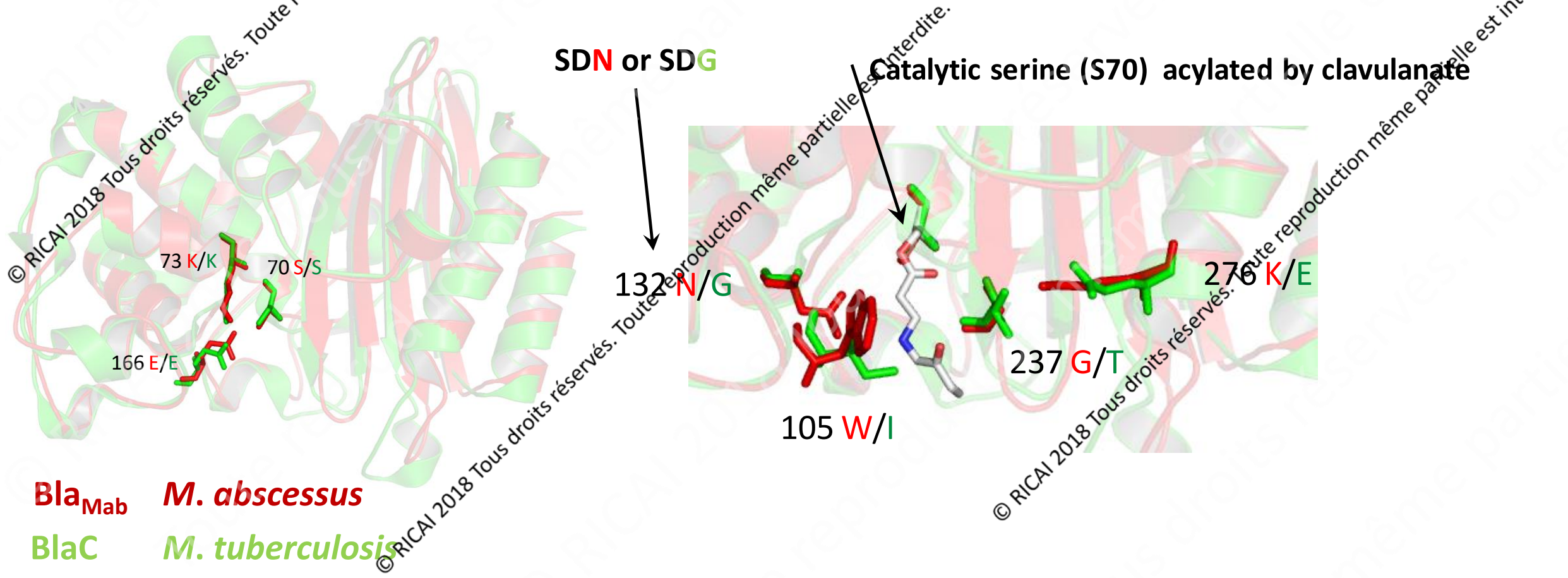
**Blue : Partial or no inactivation**





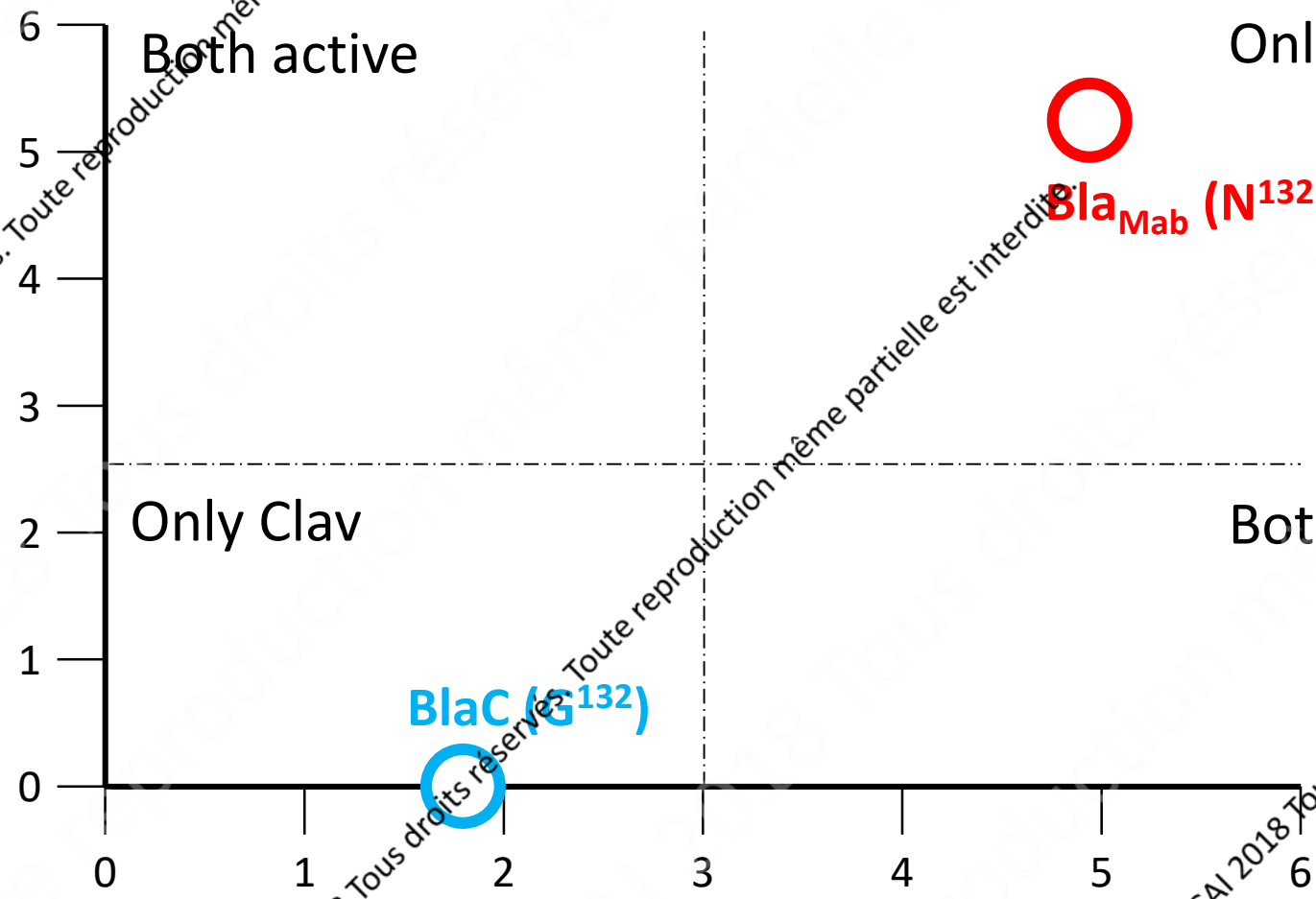
# Structural data provided a clue

$\beta$ -lactamase	Motif	Avibactam	Clavulanate
Bla <sub>Mab</sub>	SDN	Active	Inactive
BlaC	SDG	Inactive	Active



# Impact of SDN ↔ SDG substitutions

Efficacy of clavulanate hydrolysis  
 $\text{Log}(k_{\text{cat}}/K_m)$

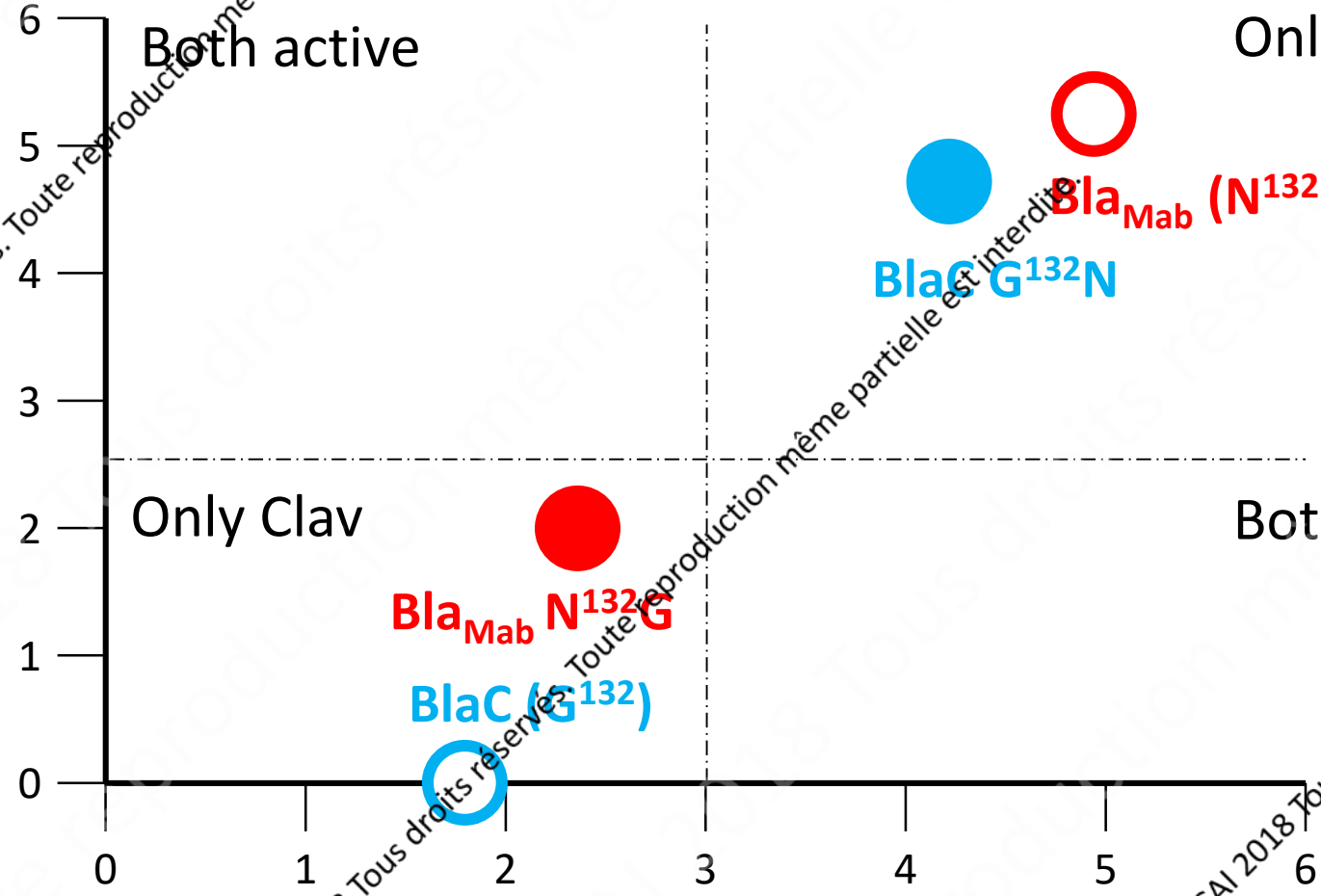


Efficacy of inactivation by avibactam  
 $\text{Log}(k_2/K_i)$

© RICAI 2018 Tous droits réservés. Toute reproduction même partielle est interdite.

# Impact of SDN ↔ SDG substitutions

Efficacy of clavulanate hydrolysis  
 $\text{Log}(k_{\text{cat}}/K_m)$



Efficacy of inactivation by avibactam  
 $\text{Log}(k_2/K_i)$

© RICAI 2018 Tous droits réservés. Toute reproduction même partielle est interdite.

© RICAI 2018 Tous droits réservés. Toute reproduction même partielle est interdite.



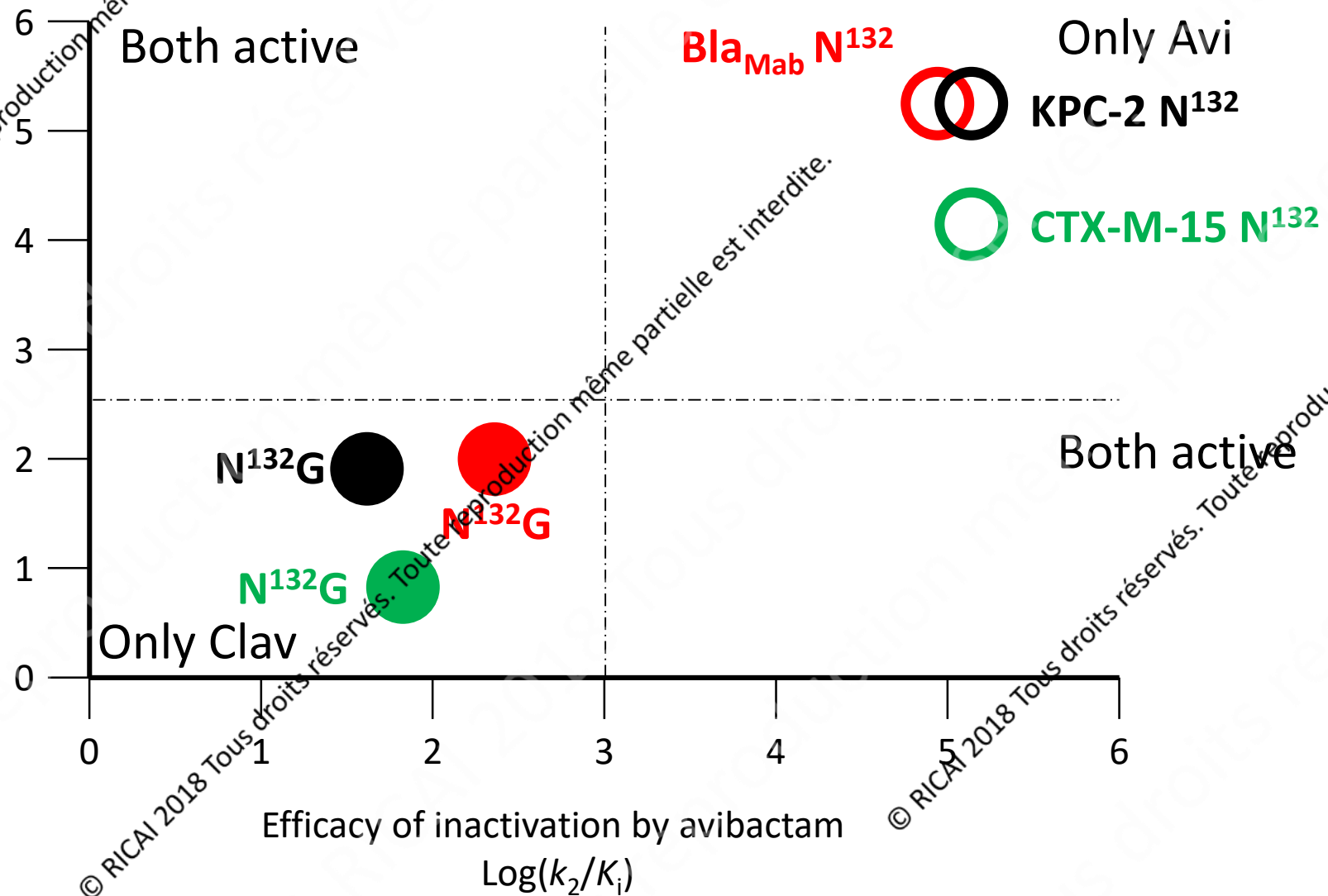
# Conclusions

- BlaC is a naturally-occurring avibactam “resistant” class A  $\beta$ -lactamase
- Variations in the efficacy of avibactam and clavulanate are inversely correlated and determined by the SDN versus SDG motif
- SDN  $\rightarrow$  SDG acquisition of avibactam resistance (but increased susceptibility to clavulanate)

$\rightarrow$  Do these conclusions apply to  $\beta$ -lactamases from Enterobacteria?

# Impact of SDN ↔ SDG substitutions

Efficacy of clavulanate hydrolysis  
 $\text{Log}(k_{\text{cat}}/K_m)$



© RICAI 2018 Tous droits réservés. Toute reproduction même partielle est interdite.

© RICAI 2018 Tous droits réservés. Toute reproduction même partielle est interdite.

© RICAI 2018 Tous droits réservés. Toute reproduction même partielle est interdite.

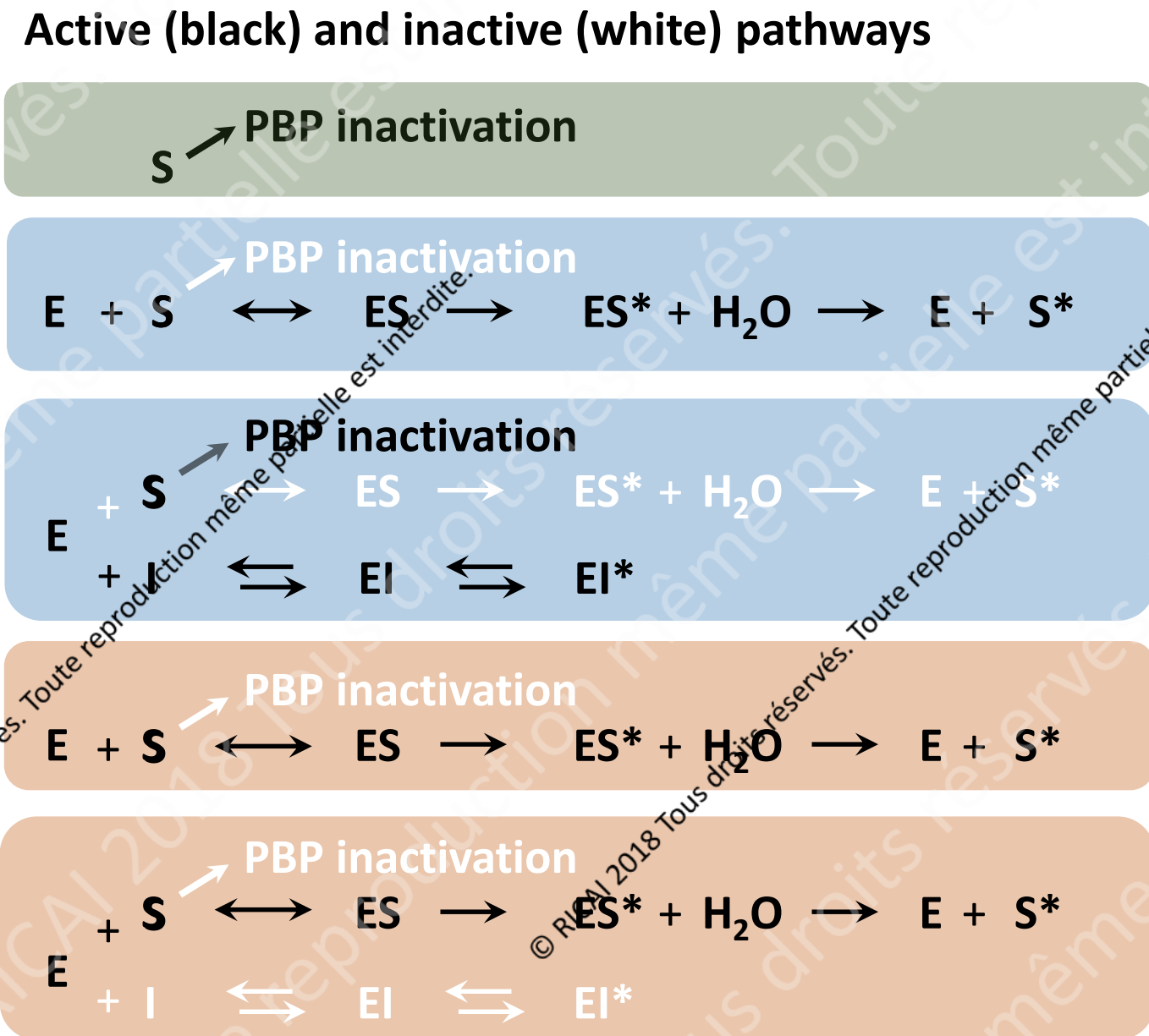
# Conclusion

➤ The SDN → SDG substitution has similar impacts on the spectrum of inhibition of distantly related Class A  $\beta$ -lactamases from mycobacteria and enterobacteria

➔ Does this substitution lead to resistance to  $\beta$ -lactam/inhibitor combinations?

# MIC of amoxicillin (S) against *E. coli* producing Bla<sub>Mab</sub> (E) with or without avibactam (I)

$\beta$ -lactamase	MIC ( $\mu\text{g/ml}$ )
None	2
Bla <sub>Mab</sub>	>512
Bla <sub>Mab</sub> + Avibactam	4
Bla <sub>Mab</sub> N <sup>132</sup> G	>512
Bla <sub>Mab</sub> N <sup>132</sup> G + Avi	64



© RICAI 2018 Tous droits réservés. Toute reproduction même partielle est interdite.

# Emergence of ceftazidime-avibactam resistance in enterobacteria

(Resistance: MIC of ceftazidime > 8 µg/ml in the presence of 4 µg/ml of avibactam)

- **In vivo:** Emergence of resistance to ceftazidime-avibactam in 8% (3/37) of the patients infected with carbapenem-resistant Enterobacteriaceae and treated with the ceftazidime-avibactam combination

D<sup>179</sup>V      V<sup>240</sup>G      D<sup>179</sup>Y + T<sup>243</sup>M

Shields RK, *Clin Infect Dis* 63:1615-8

*Antimicrob Agents Chemother* 61:e02097-16

- **In vitro:** ca.  $2 \times 10^{-9}$  (ceftazidime 8 µg/ml + avibactam 4 µg/ml)

D<sup>179</sup>Y



# Impact of D<sup>179</sup>Y in KPC-2 on the :

## MIC of $\beta$ -lactams against *E. coli*

$\beta$ -Lactamase	Ceftazidime			Aztreonam	Meropenem	Imipenem	Ceftriaxone
	None	+Avi	+Clav	None	None	None	None
None	0.25	0.25	0.25	0.25	<0.12	0.25	<0.12
KPC-2	>128	64	64	>128	>128	128	>128
KPC-2 D <sup>179</sup> Y	>128	32	8	0.5	<0.12	0.25	32

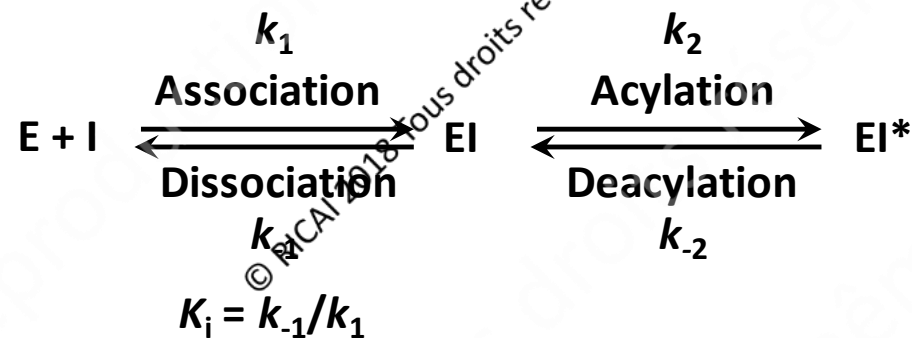
## Efficacy\* of $\beta$ -lactam hydrolysis

$\beta$ -lactam	KPC-2	KPC-2 D <sup>179</sup> Y
Ceftazidime	3,700	70
Aztreonam	69,000	Not detected
Meropenem	67,000	Not detected
Imipenem	730,000	Not detected
Ceftriaxone	250,000	3,500
Clavulanate	140,000	Not detected

\* $k_{cat}/K_m$  (M<sup>-1</sup>s<sup>-1</sup>)

## Efficacy of inactivation by avibactam

$\beta$ -lactamase	$k_2/K_i$ (M <sup>-1</sup> s <sup>-1</sup> )	$k_1$ (s <sup>-1</sup> )
KPC-2	290,000	0.001
KPC-2 D <sup>179</sup> Y	0.4	0.00005



# Conclusions

- D<sup>179</sup>Y is sufficient for resistance to the combination since it enables the combination of:
    - Sufficient residual ceftazidime hydrolase activity (2%)
    - Very low acylation efficacy by avibactam (0,0001%)
  - D<sup>179</sup>Y: Abolishes resistance to aztreonam, imipenem, and meropenem
    - Increases the efficacy of  $\beta$ -lactamase inactivation by clavulanate
      - Alternative therapies for isolates producing KPC D<sup>179</sup>Y?
      - Combine therapies to prevent emergence of D<sup>179</sup>Y?
- Is emergence of resistance to  $\beta$ -lactam/inhibitor combinations possible in other Class A  $\beta$ -lactamases?

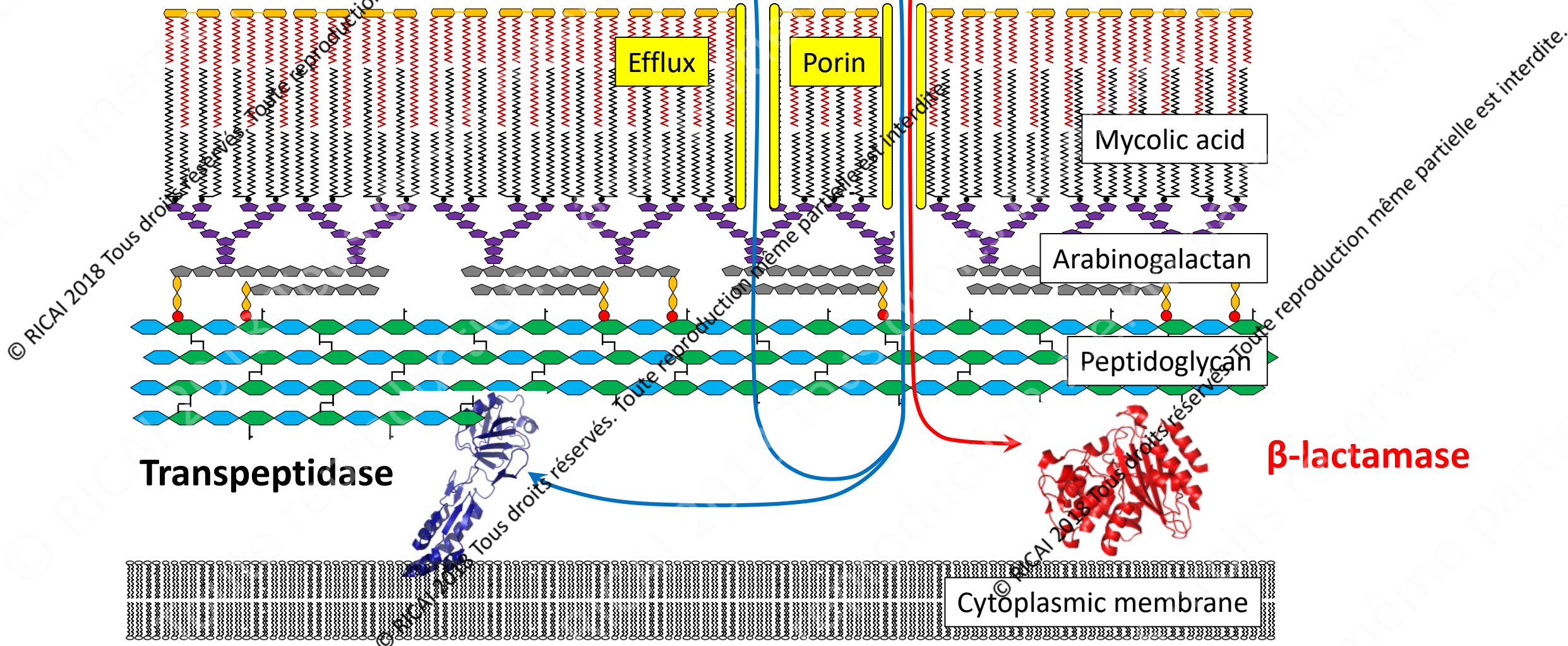
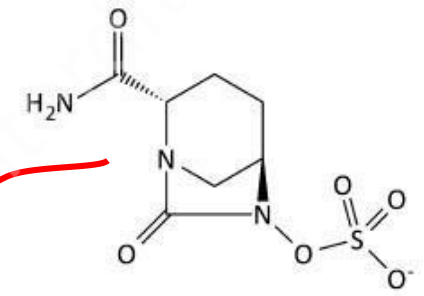
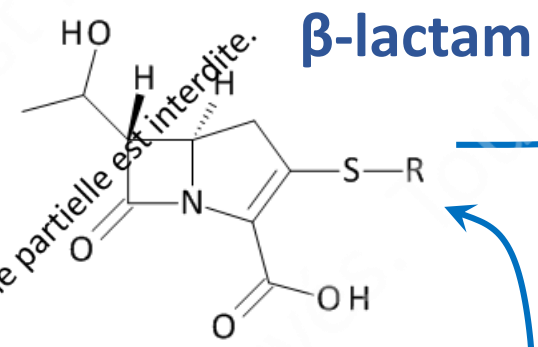
# CTX-M $\beta$ -lactamases are refractory to gain of ceftazidime-avibactam resistance

- Pre-existing polymorphisms: 9 single amino acid variations in the  $\Omega$  loop of 172 CTX-M sequences
- None was associated with ceftazidime-avibactam resistance but Two of them increased the MIC of ceftazidime (in the absence of avibactam) when introduced in CTX-M-15: P<sup>167</sup>S (4 fold) and L<sup>169</sup>Q (16 fold)

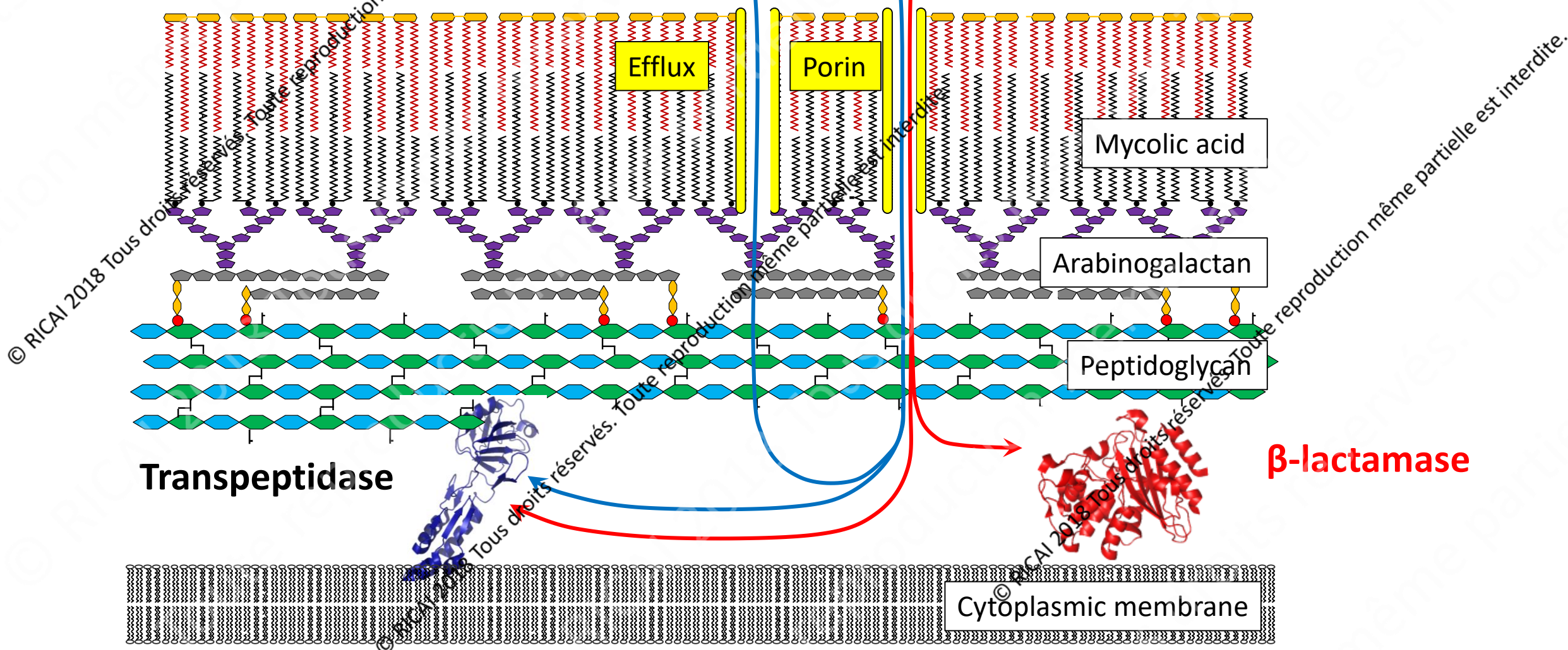
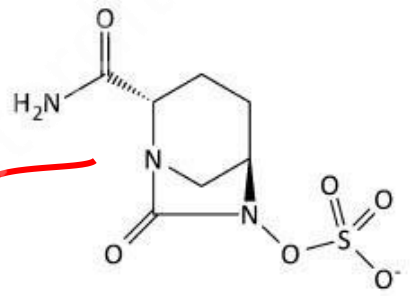
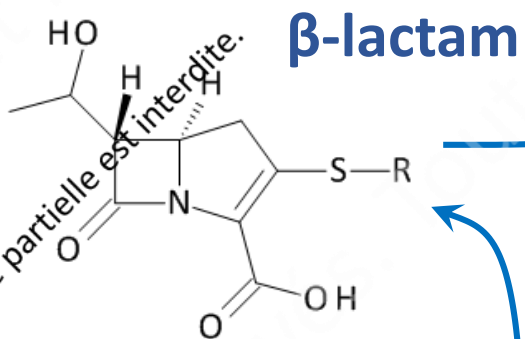


- L<sup>169</sup>Q (rare) and D<sup>240</sup>G (only in CTX-M-15 and derivatives) are prerequisites for the emergence of ceftazidime-avibactam resistance

# Multiplicity of resistance determinants



# Dual role of avibactam



© RICA 2018 Tous droits réservés. Toute reproduction même partielle est interdite.

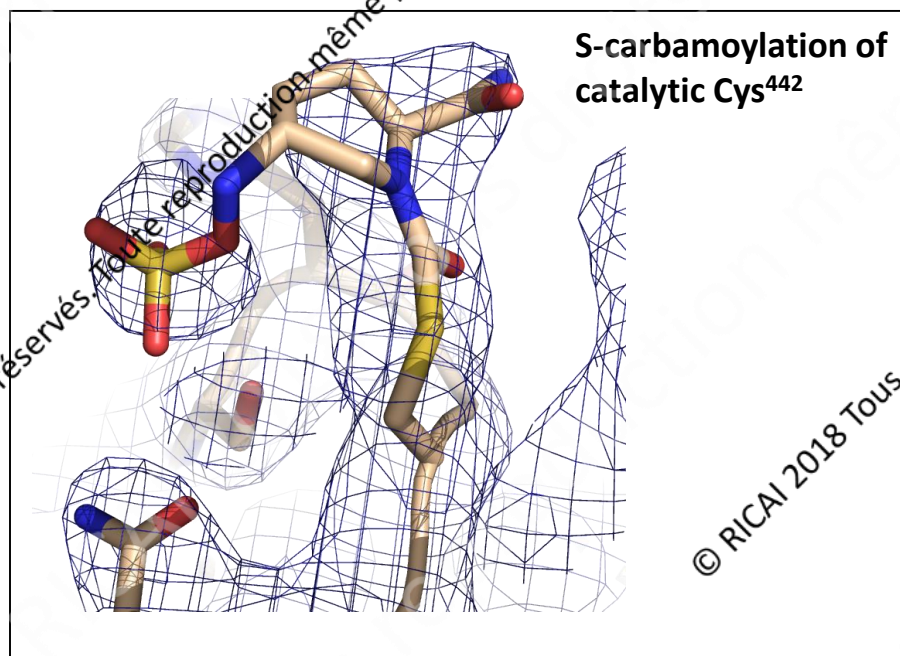
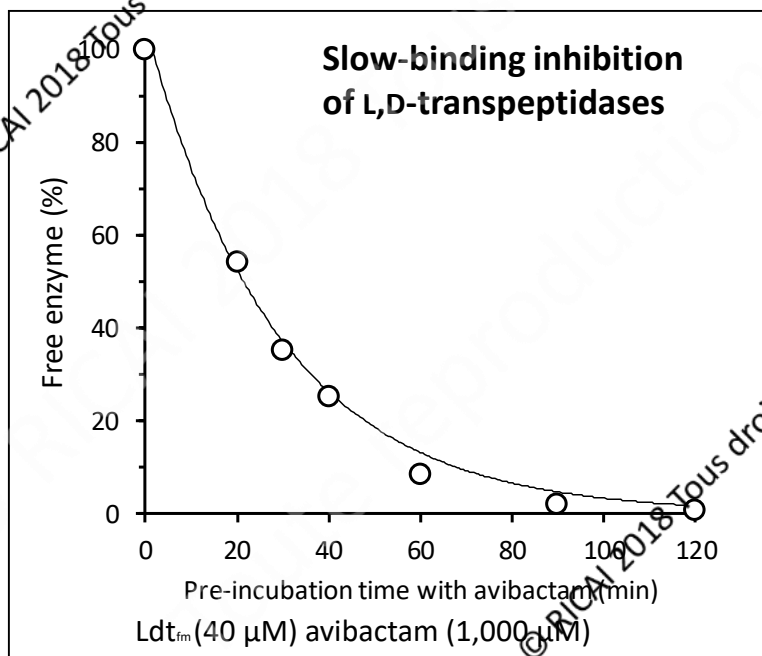
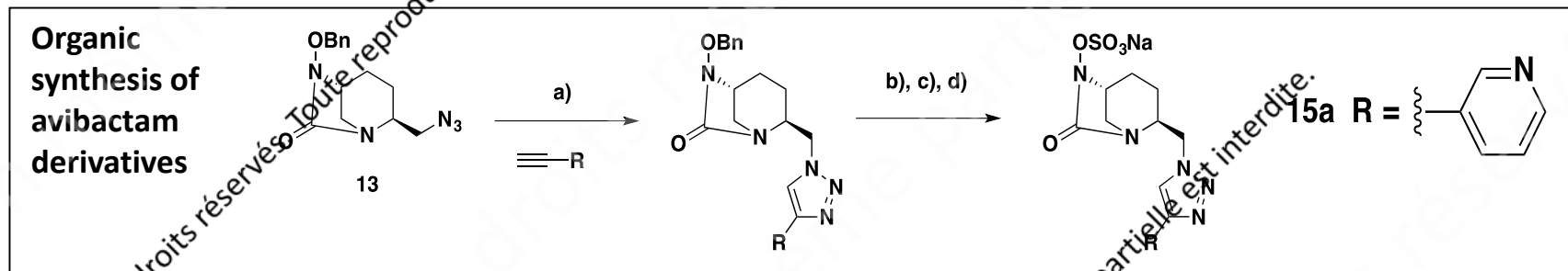
© RICA 2018 Tous droits réservés. Toute reproduction même partielle est interdite.

© RICA 2018 Tous droits réservés. Toute reproduction même partielle est interdite.



# Additional target(s) for avibactam and derivatives

Strain	$\beta$ -lactamase	MIC of amoxicillin (against $\Delta bla$ )			Inhibition efficacy ( $k_2/K_i$ M <sup>-1</sup> s <sup>-1</sup> )	
		None	Avibactam	15a	Avibactam	15a
<i>M. abscessus</i>	Bla <sub>MAB</sub>	> 256 (4)	16 (4)	16 (4)	170,000	22,000
<i>M. tuberculosis</i>	BlaC	128 (1)	8 (1)	16 (1)	24	< 5



© RICAI 2018 Tous droits réservés. Toute reproduction même partielle est interdite.

“We're gonna need a bigger boat”

Spellberg B, Bonomo RA



- Chemistry  
L Iannazzo, M Ethève-Quellejeu,  
M Fonvielle, F Bochet
- Crystallography  
I Galley, H van Tilbeurgh, M Fonvielle
- Microbiology  
F Compain, JL Mainardi, E Le Run
- Enzymology  
Z Edo, F Compain, JE Hugonnet

➤ A more potent “irresistible” inhibitor

and/or

➤ Diverse inhibitors (pan resistance to all  $\beta$ -lactam-inhibitor combinations is at the very least uncommon)

➤ Formulation of inhibitors independently from  $\beta$ -lactams  
→ access to combinations for therapy (and research!)



PhD fellowship to ZE



PhD fellowship to ELR

MIC of amoxicillin against *E. coli* strains producing BlaC from *M. tuberculosis*

E = BlaC  
 S = Amoxicillin  
 I = Clavulanate

**S** → PBP inactivation

**None**      **2**

**E + S** ↔ **ES** → **ES\* + H<sub>2</sub>O** → **E + S\***      **BlaC**      **512**

**E + S** → **ES** → **ES\* + H<sub>2</sub>O** → **E + S\***  
**E + I** ↔ **EI** → **EI\* + H<sub>2</sub>O** → **E + I\***      **BlaC + Clav**      **8**

**E + S** ↔ **ES** → **ES\* + H<sub>2</sub>O** → **E + S\***      **BlaC G<sup>132</sup>N**      **512**

**E + S** ↔ **ES** → **ES\* + H<sub>2</sub>O** → **E + S\***  
**E + I** ↔ **EI** → **EI\* + H<sub>2</sub>O** → **E + I\***      **BlaC G<sup>132</sup>N + Clav**      **64**

© RICAI 2018 Tous droits réservés. Toute reproduction même partielle est interdite.

MIC of amoxicillin against *E. coli* strains producing BlaC from *M. tuberculosis*

E = Bla<sub>Mab</sub>  
 S = Amoxicillin  
 I = Clavulanate

**S** → PBP inactivation

**None**      **2**

**E + S** → PBP inactivation

**E + S** ↔ **ES** → **ES\* + H<sub>2</sub>O** → **E + S\***      **Bla<sub>Mab</sub>**      **>512**

**E + S** → PBP inactivation

**E + S** ↔ **ES** → **ES\* + H<sub>2</sub>O** → **E + S\***  
**E + I** ↔ **EI** → **EI\* + H<sub>2</sub>O** → **E + I\***      **Bla<sub>Mab</sub> + Clav**      **>512**

**E + S** → PBP inactivation

**E + S** ↔ **ES** → **ES\* + H<sub>2</sub>O** → **E + S\***      **Bla<sub>Mab</sub> N<sup>132</sup>G**      **>512**

**E + S** → PBP inactivation

**E + S** ↔ **ES** → **ES\* + H<sub>2</sub>O** → **E + S\***  
**E + I** ↔ **EI** → **EI\* + H<sub>2</sub>O** → **E + I\***      **Bla<sub>Mab</sub> N<sup>132</sup>G + Clav**      **32**

© RICAI 2018 Tous droits réservés. Toute reproduction même partielle est interdite.



MIC of amoxicillin against *E. coli* strains producing BlaC from *M. tuberculosis*

E = BlaC  
 S = Amoxicillin  
 I = Avibactam

	$\beta$ -lactamase	MIC ( $\mu\text{g/ml}$ )
$S \rightarrow$ PBP inactivation	None	2
$E + S \rightleftharpoons ES \xrightarrow{\text{PBP inactivation}} ES^* + H_2O \rightarrow E + S^*$	BlaC	512
$E + S \rightleftharpoons ES \xrightarrow{\text{PBP inactivation}} ES^* + H_2O \rightarrow E + S^*$ $E + I \rightleftharpoons EI \rightleftharpoons EI^*$	BlaC + Avibactam	64
$E + S \rightleftharpoons ES \xrightarrow{\text{PBP inactivation}} ES^* + H_2O \rightarrow E + S^*$	BlaC G <sup>132</sup> N	512
$E + S \rightleftharpoons ES \xrightarrow{\text{PBP inactivation}} ES^* + H_2O \rightarrow E + S^*$ $E + I \rightleftharpoons EI \rightleftharpoons EI^*$	BlaC G <sup>132</sup> N + Avi	2

© RICAI 2018 Tous droits réservés. Toute reproduction même partielle est interdite.



**TABLE 3** Impact of avibactam on the MICs of  $\beta$ -lactams for *E. coli* strains producing various  $\beta$ -lactamases

$\beta$ -Lactamase	MIC ( $\mu$ g/ml) of indicated $\beta$ -lactam with or without Avi or Clav <sup>a</sup>											
	Amoxicillin			Ceftazidime			Ceftaroline			Aztreonam		
	None	Avi	Clav	None	Avi	Clav	None	Avi	Clav	None	Avi	Clav
None <sup>b</sup>	2	2	2	0.25	0.25	0.25	0.06	0.06	0.06	0.25	0.25	0.25
KPC-2	>4,096	256	2,048	128	1	2	>1,024	1	128	>1,024	0.25	128
KPC-2 N <sup>132</sup> G	2,048	2,048	8	4	1	0.5	32	0.5	0.06	1	0.125	0.25
CTX-M-15	4,096	2	16	16	0.5	0.5	>2,048	0.06	0.06	128	0.25	0.25
CTX-M-15 N <sup>132</sup> G	128	8	4	0.5	0.5	0.25	0.5	0.06	0.06	0.25	0.25	0.125

<sup>a</sup>Values are the medians of results from three to five independent determinations. None, absence of avibactam and clavulanate; Avi, presence of avibactam (4  $\mu$ g/ml);

**TABLE 2** Impact of D<sup>179</sup>Y substitution on kinetic parameters of KPC-2 for hydrolysis of  $\beta$ -lactams

Kinetic parameter by $\beta$ -lactam	Results <sup>b</sup>	
	KPC-2	KPC-2 D <sup>179</sup> Y
<b>Ampicillin</b>		
$k_{cat}$ (s <sup>-1</sup> )	200 ± 10	NA <sup>a</sup>
$K_m$ ( $\mu$ M)	200 ± 40	NA
$k_{cat}/K_m$ (M <sup>-1</sup> · s <sup>-1</sup> )	(1.0 ± 0.2) × 10 <sup>6</sup>	NA
<b>CENTA</b>		
$k_{cat}$ (s <sup>-1</sup> )	100 ± 10	0.11 ± 0.01
$K_m$ ( $\mu$ M)	32 ± 8	23 ± 3
$k_{cat}/K_m$ (M <sup>-1</sup> · s <sup>-1</sup> )	(3.1 ± 0.4) × 10 <sup>6</sup>	(4.8 ± 0.6) × 10 <sup>3</sup>
<b>Ceftazidime</b>		
$k_{cat}$ (s <sup>-1</sup> )	1.4	(1.3 ± 0.2) × 10 <sup>-3</sup>
$K_m$ ( $\mu$ M)	>600	19 ± 4
$k_{cat}/K_m$ (M <sup>-1</sup> · s <sup>-1</sup> )	(3.7 ± 0.1) × 10 <sup>3</sup>	70 ± 20
<b>Ceftriaxone</b>		
$k_{cat}$ (s <sup>-1</sup> )	>25	(7.0 ± 0.1) × 10 <sup>-4</sup>
$K_m$ ( $\mu$ M)	>100	0.20 ± 0.03
$k_{cat}/K_m$ (M <sup>-1</sup> · s <sup>-1</sup> )	(2.5 ± 0.1) × 10 <sup>5</sup>	(3.5 ± 0.5) × 10 <sup>3</sup>
<b>Aztreonam</b>		
$k_{cat}$ (s <sup>-1</sup> )	>350	NA
$K_m$ ( $\mu$ M)	>5 × 10 <sup>3</sup>	NA
$k_{cat}/K_m$ (M <sup>-1</sup> · s <sup>-1</sup> )	(6.9 ± 0.3) × 10 <sup>4</sup>	NA
<b>Meropenem</b>		
$k_{cat}$ (s <sup>-1</sup> )	1.8 ± 0.2	NA
$K_m$ ( $\mu$ M)	27 ± 9	NA
$k_{cat}/K_m$ (M <sup>-1</sup> · s <sup>-1</sup> )	(6.7 ± 2.3) × 10 <sup>4</sup>	NA
<b>Imipenem</b>		
$k_{cat}$ (s <sup>-1</sup> )	48 ± 5	NA
$K_m$ ( $\mu$ M)	66 ± 21	NA
$k_{cat}/K_m$ (M <sup>-1</sup> · s <sup>-1</sup> )	(7.3 ± 2.4) × 10 <sup>5</sup>	NA
<b>Clavulanate</b>		
$k_{cat}$ (s <sup>-1</sup> )	5.2 ± 0.7	NA
$K_m$ ( $\mu$ M)	36 ± 4	NA
$k_{cat}/K_m$ (M <sup>-1</sup> · s <sup>-1</sup> )	(1.4 ± 0.3) × 10 <sup>5</sup>	NA

<sup>a</sup>NA, not applicable, as hydrolysis of  $\beta$ -lactams (100  $\mu$ M, except for aztreonam at 1,000  $\mu$ M) was not detected at the highest  $\beta$ -lactamase concentration tested (10  $\mu$ M). Under these conditions, the lower limits of detection correspond to a turnover of <2 × 10<sup>-3</sup> · s<sup>-1</sup>, <2.6 × 10<sup>-3</sup> · s<sup>-1</sup>, <1.5 × 10<sup>-4</sup> · s<sup>-1</sup>, <1.5 × 10<sup>-4</sup> · s<sup>-1</sup>, and <4 × 10<sup>-4</sup> · s<sup>-1</sup> for ampicillin, aztreonam, meropenem, imipenem, and clavulanate, respectively.

<sup>b</sup>Data are means ± standard errors of the mean (SEM).

© RICAI 2018 Tous droits réservés. Toute reproduction même partielle est interdite.

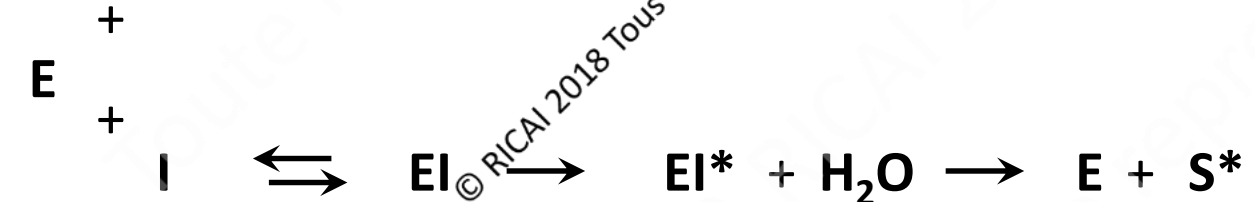
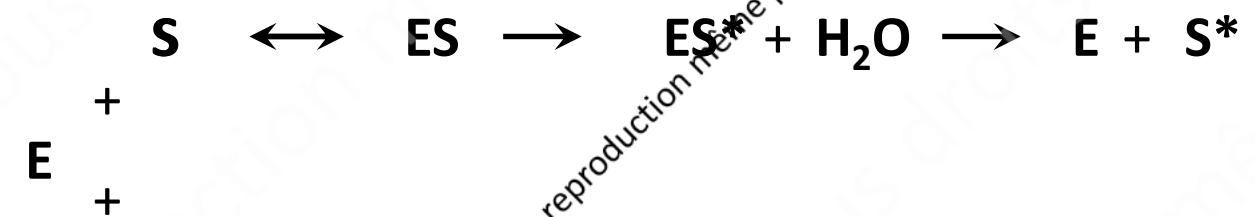
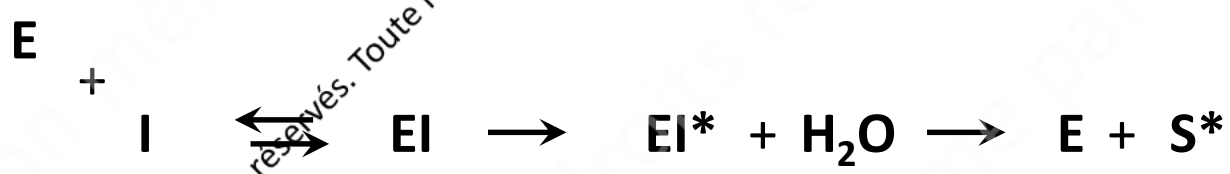
© RICAI 2018 Tous droits réservés. Toute reproduction même partielle est interdite.

© RICAI 2018 Tous droits réservés. Toute reproduction même partielle est interdite.

Kinetic parameter by $\beta$ -lactam	Results <sup>b</sup>	
	KPC-2	KPC-2 D179Y
<b>Ampicillin</b>		
$k_{cat}$ ( $s^{-1}$ )	200 ± 10	NA <sup>a</sup>
$K_m$ ( $\mu M$ )	200 ± 40	NA
$k_{cat}/K_m$ ( $M^{-1} \cdot s^{-1}$ )	$(1.0 \pm 0.2) \times 10^6$	NA
<b>CENTA</b>		
$k_{cat}$ ( $s^{-1}$ )	100 ± 10	0.11 ± 0.01
$K_m$ ( $\mu M$ )	32 ± 8	23 ± 3
$k_{cat}/K_m$ ( $M^{-1} \cdot s^{-1}$ )	$(3.1 \pm 0.8) \times 10^6$	$(4.8 \pm 0.6) \times 10^3$
<b>Ceftazidime</b>		
$k_{cat}$ ( $s^{-1}$ )	>1.4	$(1.3 \pm 0.2) \times 10^{-3}$
$K_m$ ( $\mu M$ )	>600	19 ± 4
$k_{cat}/K_m$ ( $M^{-1} \cdot s^{-1}$ )	$(3.7 \pm 0.1) \times 10^3$	70 ± 20
<b>Ceftriaxone</b>		
$k_{cat}$ ( $s^{-1}$ )	>25	$(7.0 \pm 0.1) \times 10^{-4}$
$K_m$ ( $\mu M$ )	>100	0.20 ± 0.03
$k_{cat}/K_m$ ( $M^{-1} \cdot s^{-1}$ )	$(2.5 \pm 0.1) \times 10^5$	$(3.5 \pm 0.5) \times 10^1$
<b>Aztreonam</b>		
$k_{cat}$ ( $s^{-1}$ )	>350	NA
$K_m$ ( $\mu M$ )	$>5 \times 10^3$	NA
$k_{cat}/K_m$ ( $M^{-1} \cdot s^{-1}$ )	$(6.9 \pm 0.3) \times 10^4$	NA
<b>Meropenem</b>		
$k_{cat}$ ( $s^{-1}$ )	1.8 ± 0.2	NA
$K_m$ ( $\mu M$ )	27 ± 9	NA
$k_{cat}/K_m$ ( $M^{-1} \cdot s^{-1}$ )	$(6.7 \pm 2.3) \times 10^4$	NA
<b>Imipenem</b>		
$k_{cat}$ ( $s^{-1}$ )	48 ± 5	NA
$K_m$ ( $\mu M$ )	66 ± 21	NA
$k_{cat}/K_m$ ( $M^{-1} \cdot s^{-1}$ )	$(7.3 \pm 2.4) \times 10^5$	NA
<b>Clavulanate</b>		
$k_{cat}$ ( $s^{-1}$ )	5.2 ± 0.7	NA

© RICAI 2018 Tous droits réservés. Toute reproduction même partielle est interdite.

**E = BlaC**  
**S = Amoxicillin**  
**I = Clavulanate**



© RICAI 2018 Tous droits réservés. Toute reproduction même partielle est interdite.

$\beta$ -Lactamase	Residue 132	MIC (mg/L) of amoxicillin in the presence of the indicated inhibitor		
		none	avibactam (4 mg/L)	clavulanate (4 mg/L)
None	NA	2	2	2
Bla <sub>Mab</sub>	N	>512	4	>512
BlaC	G	512	64	8
Bla <sub>Mab</sub> N <sup>132</sup> G	G	>512	64	32
BlaC G <sup>132</sup> N	N	512	2	64

NA, not applicable.

**TABLE 2** Impact of the N<sup>132</sup>G substitution in KPC-2 and CTX-M-15 on the kinetic parameters of  $\beta$ -lactams and their hydrolysis

$\beta$ -Lactamase	Amoxicillin			Nitrocefin			Ceftazidime			Ceftaroline			Aztreonam		
	$k_{cat}$ (s <sup>-1</sup> )	$K_m$ ( $\mu$ M)	$k_{cat}/K_m$ (M <sup>-1</sup> s <sup>-1</sup> )	$k_{cat}$ (s <sup>-1</sup> )	$K_m$ ( $\mu$ M)	$k_{cat}/K_m$ (M <sup>-1</sup> s <sup>-1</sup> )	$k_{cat}$ (s <sup>-1</sup> )	$K_m$ ( $\mu$ M)	$k_{cat}/K_m$ (M <sup>-1</sup> s <sup>-1</sup> )	$k_{cat}$ (s <sup>-1</sup> )	$K_m$ ( $\mu$ M)	$k_{cat}/K_m$ (M <sup>-1</sup> s <sup>-1</sup> )	$k_{cat}$ (s <sup>-1</sup> )	$K_m$ ( $\mu$ M)	$k_{cat}/K_m$ (M <sup>-1</sup> s <sup>-1</sup> )
KPC-2	150 ± 10	190 ± 50	(7.9 ± 0.2) × 10 <sup>5</sup>	42 ± 2	11 ± 3	(3.9 ± 1.0) × 10 <sup>4</sup>	>1	>600	(3.7 ± 0.1) × 10 <sup>3</sup>	>40	>600	(5.1 ± 2.2) × 10 <sup>4</sup>	>350	>5,000	(6.9 ± 0.3) × 10 <sup>4</sup>
KPC-2 N <sup>132</sup> G	7.0 ± 0.4	46 ± 9	(1.5 ± 0.3) × 10 <sup>5</sup>	35 ± 1	27 ± 3	(1.3 ± 0.1) × 10 <sup>4</sup>	0.008	>600	14 ± 3	>2.5	>600	(4.5 ± 0.2) × 10 <sup>3</sup>	>0.6	>5,000	(9.8 ± 1.9) × 10 <sup>1</sup>
CTX-M-15	40 ± 4	19 ± 1	(4.8 ± 0.5) × 10 <sup>5</sup>	190 ± 30	47 ± 17	(4.0 ± 1.5) × 10 <sup>4</sup>	>1.4	>600	(2.2 ± 0.2) × 10 <sup>3</sup>	90 ± 6	51 ± 12	(1.8 ± 0.4) × 10 <sup>4</sup>	1.2 ± 0.1	<150	>8.0 × 10 <sup>3</sup>
CTX-M-15 N <sup>132</sup> G	0.3 ± 0.01	<50	>6.2 × 10 <sup>3</sup>	8.3 ± 0.3	3.3 ± 0.7	(2.5 ± 0.5) × 10 <sup>3</sup>	>0.01	>600	13 ± 1	4.7 ± 0.5	240 ± 50	(1.9 ± 0.4) × 10 <sup>4</sup>	0.33 ± 0.06	3,600 ± 1,100	(9.0 ± 3.0) × 10 <sup>1</sup>

**MIC ( $\mu$ g/ml) of indicated  $\beta$ -lactam with or without AVI or Clav<sup>a</sup>**

$\beta$ -Lactamase	Amoxicillin			Ceftazidime			Ceftaroline			Aztreonam		
	None	Avi	Clav	None	Avi	Clav	None	Avi	Clav	None	Avi	Clav
None <sup>b</sup>	2	2		0.25	0.25	0.25	0.06	0.06	0.06	0.25	0.25	0.25
KPC-2	>4,096	256	2,048	128	1	32	>1,024	1	128	>1,024	0.25	128
KPC-2 N <sup>132</sup> G	2,048	2,048	8	4	1	0.5	32	0.06	0.06	1	0.125	0.25
CTX-M-15	4,096	2	16	16	0.5	0.5	>2,048	0.06	0.06	128	0.25	0.25
CTX-M-15 N <sup>132</sup> G	128		4	0.5	0.5	0.25	0.5	0.06	0.06	0.25	0.25	0.125

<sup>a</sup>Values are the medians of results from three to five independent determinations. None, absence of avibactam and clavulanate; Avi, presence of avibactam (4  $\mu$ g/ml);



BlaC	Km	Kcat	kcat/Km, M/s tableau	kcat/Km, $\mu$ M/s	Kcat/Km, M/s
Amoxicilline	44	5.8	130000	0.131818182	131818.1818
Nitrocéfine	70	35	490000	0.5	500000
Céfoxitine	140	1.1	7900	0.007857143	7857.142857
Céphalotine	260	23	88000	0.088461538	88461.53846
Céftazidime	>200	>0.004	270	0.00002	20
Céftaroline	>300	> 4.5	16000	0.015	15000
Imipénème	142	0.13	830	0.000915493	915.4929577
Méropénème	1	0.0003	330	0.0003	300
Faropénème	140	0.3	2100	0.002142857	2142.857143
Aztréonam	1600	0.18	120	0.0001125	112.5
Clavulanate			#DIV/0!	#DIV/0!	#DIV/0!
Avibactam			63	#DIV/0!	#DIV/0!

BlaC G132N	Km	Kcat	kcat/Km, M/s tableau	kcat/Km, $\mu$ M/s	Kcat/Km, M/s
Amoxicilline	220	526	120000	0.118181818	118181.8182
Nitrocéfine	32	54	1700000	1.6875	1687500
Céfoxitine	44	0.013	300	0.000295455	295.4545455
Céphalotine	>350	>32	110000	0.091428571	91428.57143
Céftazidime	>50	>0.02	59	5.71429E-05	57.14285714
Céftaroline	160	1.4	8700	0.00875	8750
Imipénème	10	0.12	12000	0.012	12000
Méropénème	0.9	0.0004	440	0.000444444	444.4444444
Faropénème	18	0.06	3300	0.003333333	3333.333333
Aztréonam	>1600	>4	2100	0.0025	2500
Clavulanate			21000	#DIV/0!	#DIV/0!
Avibactam			8900	#DIV/0!	#DIV/0!

BlaMab	Km	Kcat	kcat/Km, M/s tableau
Amoxicillin	890	780	880000
Nitrocefin	24	1000	43000000
Cefoxitin	500	0.003	6.7
Cephalotin	17	6.7	410000
Ceftazidime	>200	>0.03	83
Ceftaroline	>400	>22	55000
Imipenem	90	2.7	30000
Meropenem	120	1.8	15000
Faropenem	120	1.2	10000
Aztreonam	2900	1.8	620
Clavulanate			210000
Avibactam			110000

© RICAI 2018 Tous droits réservés. Toute reproduction même partielle est interdite.



Table . Kinetic parameters for hydrolysis of  $\beta$ -lactams by  $\beta$ -lactamases from *Stenotrophomonas maltophilia* and inhibition of their activity

$\beta$ -lactams	Parameter	$\beta$ -lactamases (conserved motif)						
		BlaC (SDG)	BlaC G <sup>132</sup> N	Bla <sub>Mab</sub>	Bla <sub>Mab</sub> N <sup>132</sup> G	Bla <sub>Mch</sub>	Bla <sub>Mma</sub>	BlaS
Amoxicillin	$K_m$ ( $\mu$ M)	44 ± 6.0	217 ± 44	890 ± 200	> 1150	710 ± 90	45 ± 16	63 ± 12
	$k_{cat}$ ( $s^{-1}$ )	5.8 ± 0.7	26 ± 3.0	780 ± 50	> 80	540 ± 30	12.4 ± 1.3	170 ± 10
	$k_{cat}/K_m$ ( $M^{-1} s^{-1}$ )	1.2 ± 0.2 × 10 <sup>5</sup>	1.2 ± 0.3 × 10 <sup>5</sup>	8.8 ± 2.0 × 10 <sup>4</sup>	7.3 ± 1.0 × 10 <sup>4</sup>	7.6 ± 1 × 10 <sup>5</sup>	2.8 ± 1.0 × 10 <sup>5</sup>	2.7 ± 0.5 × 10 <sup>6</sup>
Nitrocefin	$K_m$ ( $\mu$ M)	71 ± 11	32 ± 8.0	24 ± 7	26 ± 4.8	65 ± 20	25 ± 14	160 ± 40
	$k_{cat}$ ( $s^{-1}$ )	35 ± 1.7	54 ± 6.0	1000 ± 70	120 ± 51	930 ± 70	2.7 ± 0.3	640 ± 50
	$k_{cat}/K_m$ ( $M^{-1} s^{-1}$ )	4.9 ± 0.8 × 10 <sup>5</sup>	1.7 ± 0.5 × 10 <sup>6</sup>	4.3 ± 1.2 × 10 <sup>7</sup>	2.2 ± 1.0 × 10 <sup>5</sup>	1.4 ± 0.5 × 10 <sup>7</sup>	1.0 ± 0.1 × 10 <sup>5</sup>	4.0 ± 1.0 × 10 <sup>6</sup>
Cefoxitin	$K_m$ ( $\mu$ M)	140 ± 30	44 ± 28	500 ± 270	350 ± 25	> 800	210 ± 45	> 700
	$k_{cat}$ ( $s^{-1}$ )	1.1 ± 0.07	0.013 ± 0.002	0.003 ± 0.001	0.0016 ± 0.000075	> 0.01	0.064 ± 0.004	> 0.001
	$k_{cat}/K_m$ ( $M^{-1} s^{-1}$ )	7.9 ± 1.8 × 10 <sup>3</sup>	3.0 ± 2.0 × 10 <sup>2</sup>	6.7 ± 3.8	4.5 ± 0.39	15 ± 1	300 ± 70	1.5 ± 0.2
Cephalotin	$K_m$ ( $\mu$ M)	260 ± 50	> 350	17 ± 1	220 ± 44	50 ± 20	170 ± 30	9.3 ± 2.2
	$k_{cat}$ ( $s^{-1}$ )	23 ± 2.2	> 32	6.7 ± 0.1	0.39 ± 0.04	120 ± 10	0.32 ± 0.02	22 ± 1
	$k_{cat}/K_m$ ( $M^{-1} s^{-1}$ )	8.8 ± 1.9 × 10 <sup>4</sup>	1.1 ± 0.1 × 10 <sup>5</sup>	4.1 ± 0.2 × 10 <sup>5</sup>	1.8 ± 0.4 × 10 <sup>3</sup>	2.3 ± 1 × 10 <sup>6</sup>	1.9 ± 0.3 × 10 <sup>3</sup>	2.4 ± 0.6 × 10 <sup>6</sup>
Tazazidime	$K_m$ ( $\mu$ M)	> 200	> 350	> 200	89 ± 35	> 300	170 ± 30	> 300
	$k_{cat}$ ( $s^{-1}$ )	> 0.004	> 0.02	> 0.03	0.00048 ± 0.00008	> 0.0004	0.32 ± 0.02	> 0.03
	$k_{cat}/K_m$ ( $M^{-1} s^{-1}$ )	2.7 ± 0.62 × 10 <sup>2</sup>	5.9 ± 0.3 × 10 <sup>1</sup>	8.3 ± 1.2 × 10 <sup>1</sup>	5.4 ± 2.3	1.1 ± 0.05	1.9 ± 0.3 × 10 <sup>3</sup>	110 ± 10
Ceftaroline	$K_m$ ( $\mu$ M)	> 300	162 ± 46	> 400	> 300	33 ± 6	> 300	79 ± 11
	$k_{cat}$ ( $s^{-1}$ )	> 4.5	1.4 ± 0.22	> 22	> 0.0028	110 ± 50	> 0.02	250 ± 20
	$k_{cat}/K_m$ ( $M^{-1} s^{-1}$ )	1.6 ± 0.05 × 10 <sup>4</sup>	8.7 ± 2.8 × 10 <sup>4</sup>	5.5 ± 0.2 × 10 <sup>4</sup>	1.0 ± 0.2 × 10 <sup>1</sup>	3.0 ± 1.5 × 10 <sup>5</sup>	50 ± 7	8.3 ± 2.9 × 10 <sup>6</sup>
Imipenem	$K_m$ ( $\mu$ M)	142 ± 29	10 ± 1.0	90 ± 40	> 700	70 ± 10	43 ± 10	650 ± 130
	$k_{cat}$ ( $s^{-1}$ )	0.13 ± 0.02	0.12 ± 0.002	2.7 ± 0.3	> 0	1.3 ± 0.05	0.0031 ± 0.0002	0.10 ± 0.01
	$k_{cat}/K_m$ ( $M^{-1} s^{-1}$ )	8.3 ± 2.3 × 10 <sup>4</sup>	1.2 ± 0.1 × 10 <sup>4</sup>	3.0 ± 1.4 × 10 <sup>4</sup>	9.5 ± 0.7 × 10 <sup>2</sup>	1.9 ± 0.3 × 10 <sup>4</sup>	71 ± 17	1.5 ± 0.3 × 10 <sup>5</sup>
Meropenem	$K_m$ ( $\mu$ M)	1 ± 0.2	0.9 ± 0.5	120 ± 20	> 450	7 ± 2	10 ± 6	22 ± 5
	$k_{cat}$ ( $s^{-1}$ )	0.00030 ± 0.00002	0.004 ± 0.0003	1 ± 0.2	> 0.6	0.36 ± 0.02	0.0018 ± 0.0001	0.0095 ± 0.0005
	$k_{cat}/K_m$ ( $M^{-1} s^{-1}$ )	3.3 ± 0.6 × 10 <sup>5</sup>	4.4 ± 2.4 × 10 <sup>3</sup>	1.5 ± 0.3 × 10 <sup>4</sup>	1.4 ± 0.03 × 10 <sup>3</sup>	5.5 ± 1 × 10 <sup>4</sup>	1.7 ± 1.0 × 10 <sup>2</sup>	4.3 ± 1.0 × 10 <sup>5</sup>
Faropenem	$K_m$ ( $\mu$ M)	141 ± 74	18 ± 4.0	120 ± 26	> 250	43 ± 8	4.6 ± 0.9	180 ± 50
	$k_{cat}$ ( $s^{-1}$ )	0.30 ± 0.08	0.06 ± 0.012	1.26 ± 0.12	> 0.3	1.1 ± 0.06	0.0014 ± 0.0001	0.23 ± 0.02
	$k_{cat}/K_m$ ( $M^{-1} s^{-1}$ )	2.1 ± 1.2 × 10 <sup>4</sup>	3.0 ± 0.8 × 10 <sup>3</sup>	1.0 ± 0.2 × 10 <sup>4</sup>	1.0 ± 0.1 × 10 <sup>2</sup>	2.5 ± 0.3 × 10 <sup>4</sup>	3.0 ± 0.6 × 10 <sup>2</sup>	1.2 ± 0.3 × 10 <sup>5</sup>
Aztreonam	$K_m$ ( $\mu$ M)	1600 ± 730	> 1600	2900 ± 300	> 2000	> 3000	> 2500	> 2500
	$k_{cat}$ ( $s^{-1}$ )	0.18 ± 0.05	> 4.0	1.8 ± 0.2	> 0.0008	> 0.3	> 0.03	> 1.2
	$k_{cat}/K_m$ ( $M^{-1} s^{-1}$ )	1.2 ± 0.6 × 10 <sup>4</sup>	2.1 ± 0.32 × 10 <sup>3</sup>	6.2 ± 0.9 × 10 <sup>3</sup>	0.26 ± 0.09	100 ± 10	7 ± 1	1.0 ± 0.1 × 10 <sup>4</sup> ± 220

© RICAI 2018 Tous droits réservés. Toute reproduction même partielle est interdite.

© RICAI 2018 Tous droits réservés. Toute reproduction même partielle est interdite.

© RICAI 2018 Tous droits réservés. Toute reproduction même partielle est interdite.

---

**$\beta$ -lactam**

**BlaC**

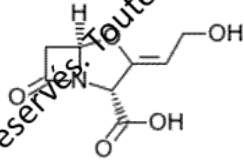
**Bla<sub>Mab</sub>**

***M. tuberculosis***

***M. abscessus***

---

**Clavulanate**

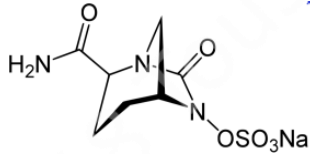


**Irreversible inactivation**

**Hydrolysis**

$$k_{\text{cat}} / K_m = 2.1 \times 10^5 \text{ M}^{-1} \text{ s}^{-1}$$

**Avibactam**



**Slow inhibition**

**Rapid inhibition**

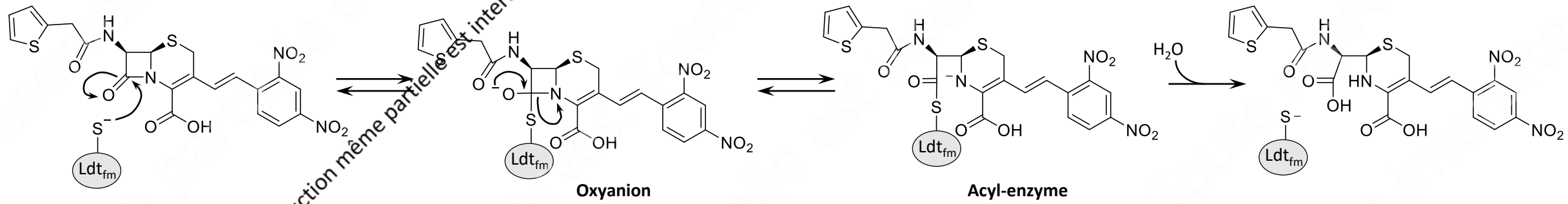
$$k_2 / K_i = 24 \text{ M}^{-1} \text{ s}^{-1}$$

$$k_2 / K_i = 480,000 \text{ M}^{-1} \text{ s}^{-1}$$

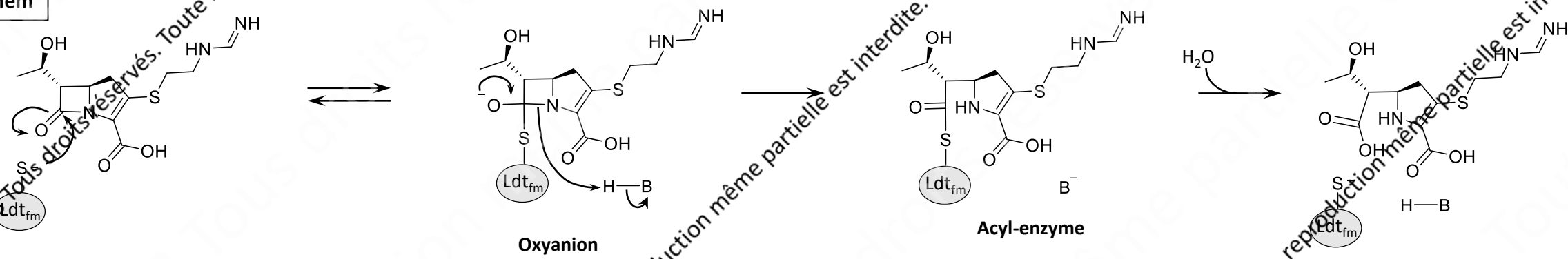
---

© RICAI 2018 Tous droits réservés. Toute reproduction même partielle est interdite.

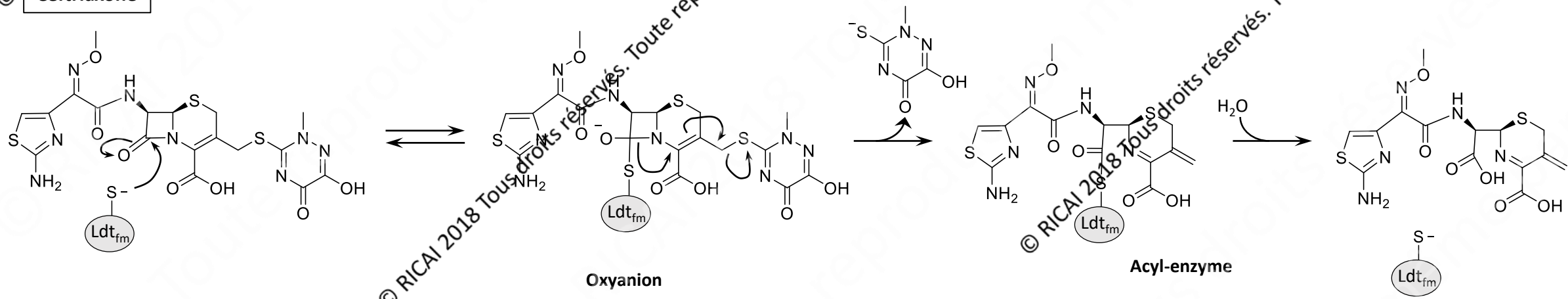
### Nitrocefin



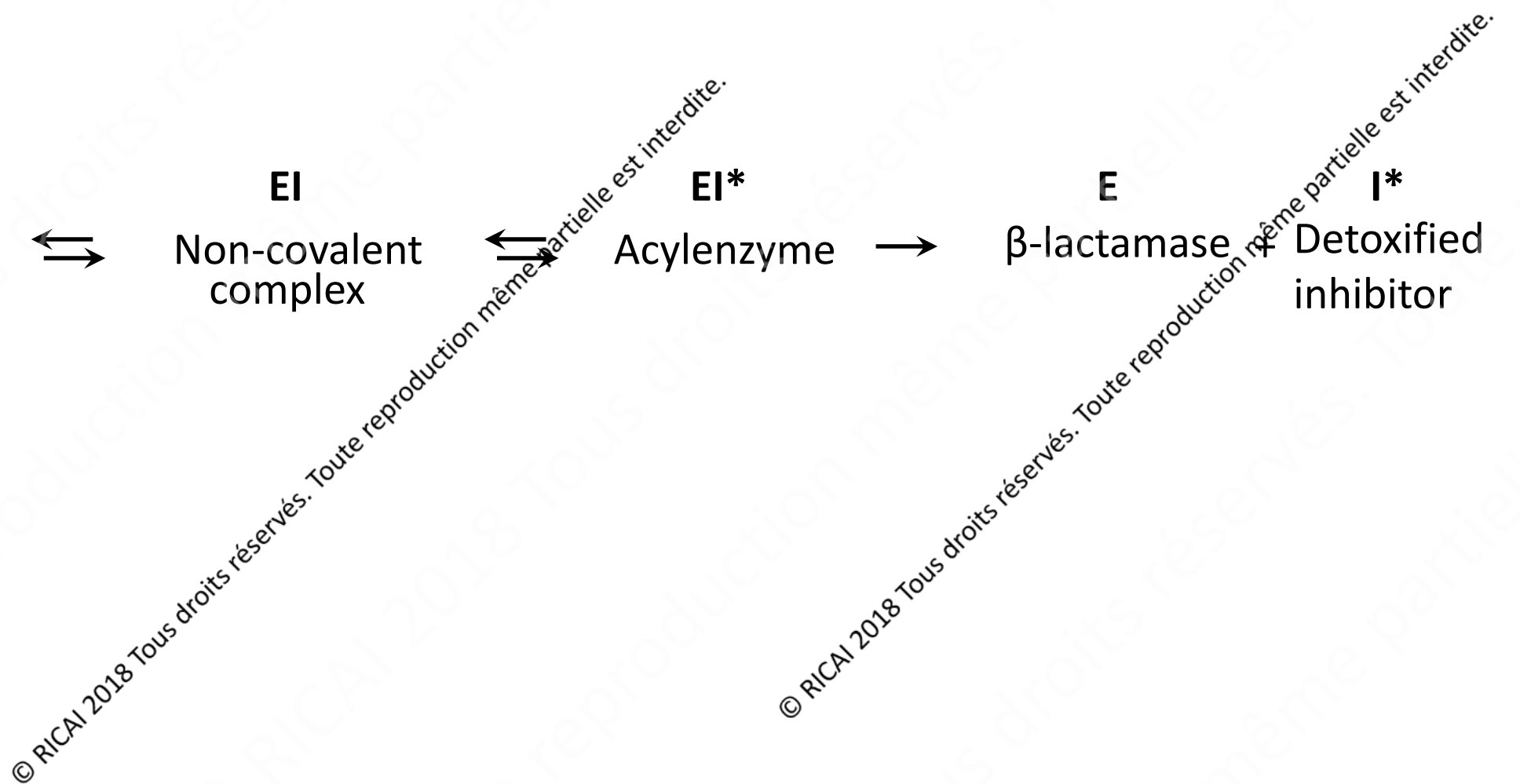
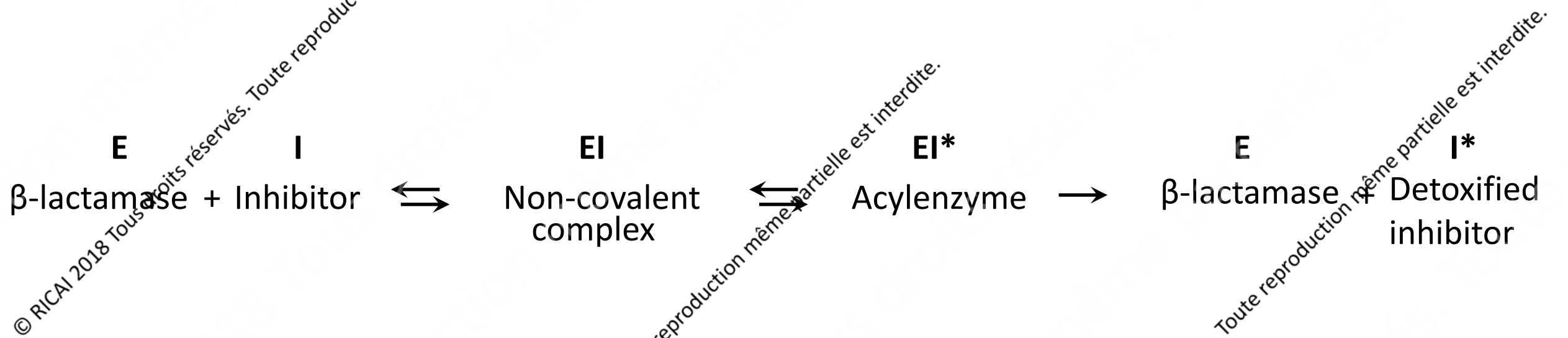
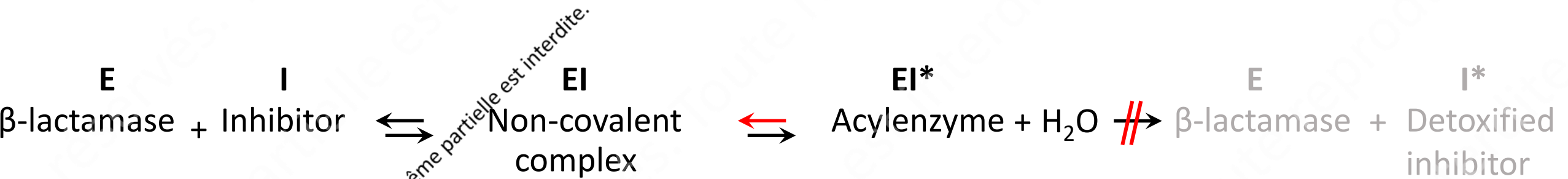
### Imipenem

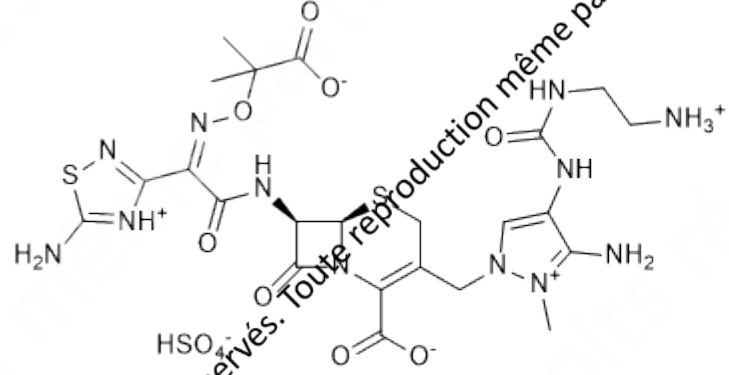


### Ceftriaxone

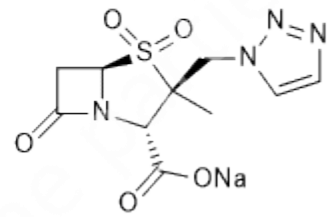


© RICAI 2018 Tous droits réservés. Toute reproduction même partielle est interdite.

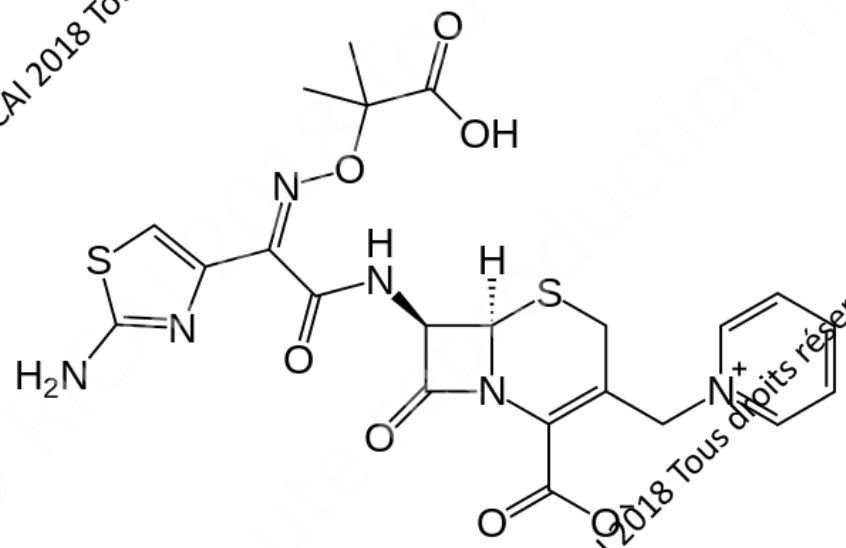




Ceftolozane sulfate  
(CXA-101, FR264205)



Tazobactam sodium salt



ceftazidime

© RICAI 2018 Tous droits réservés. Toute reproduction même partielle est interdite.

© RICAI 2018 Tous droits réservés. Toute reproduction même partielle est interdite.

© RICAI 2018 Tous droits réservés. Toute reproduction même partielle est interdite.

© RICAI 2018 Tous droits réservés. Toute reproduction même partielle est interdite.

© RICAI 2018 Tous droits réservés. Toute reproduction même partielle est interdite.

© RICAI 2018 Tous droits réservés. Toute reproduction même partielle est interdite.